

基礎地盤コンサルタント(株) 正員 ○

" " "

竹氏彰  
安田進  
森研二1. はじめ

河川堤防、ダム、造成地盤等のようすは土構造物内の土要素または水平地盤で近傍に構造物があるような地盤では、図1に示したように、鉛直応力 $\sigma_v'$ 、水平応力 $\sigma_h'$ の他に、初期せん断力 $\tau_i$ を受けている事が一般に知られている。これらの地盤の地震時の挙動を知るために室内試験としては、振動三軸試験・くり返し単純せん断試験・動的ねりせん断試験等がある。しかし、これらの試験に於いて、初期せん断力を作用させた後、くり返しせん断力を加える試験は従来あまり行なわれておらず、最近になって色々な研究者によって研究され始めていると言うのが現状である。そこで、筆者らは動的ねりせん断装置を用いて、初期せん断力を与え、後くり返しせん断力を加え、種々の条件(等方圧密、異方圧密、飽和・不飽和)での軸ひずみ $\epsilon_a$ 、せん断ひずみ $\gamma$ (残留ひずみ)、過剰間隙水压 $\Delta u$ 等に注目して整理し、定性的な傾向について調べてみて以下に報告する。

2. 実験方法

使用した砂は豊浦標準砂であり、相対密度 $D_r$ は圧密後で平均56.3%、標準偏差2.05であった。試験装置は動的ねりせん断装置であり、図2に示すような応力状態で載荷できる。装置については、既に述べてあるので参考にされたい。実験の各段階は図3に示したような流れで行った(ここで、くり返しせん断応力比 $\tau_d/\sigma_v'$ は0.1~0.25の範囲で載荷した)。また今回行った実験シリーズを示してるのが表1で、全部で6シリーズである。ここで、不飽和状態については含水比を管理する事によって、個々の供試体の飽和度のはらつきを極力小さくした。

3. 実験結果及び考察

実験結果を個々の影響が読み取れるように整理したのが図4~図8である。各々(a)は $\tau_d/\sigma_v' \sim \epsilon_a$ 関係、(b)は $\tau_d/\sigma_v' \sim \gamma$ 関係、(c)は $\tau_d/\sigma_v' \sim \Delta u/\sigma_v'$ 関係を示してある。これらを基

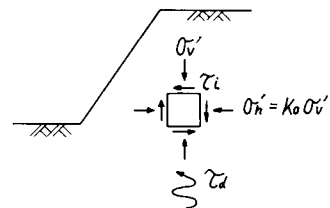


図1 地盤の応力状態

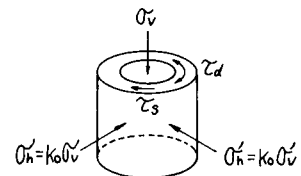


図2 装置の応力状態

表1 試験シリーズ

番号	記号	圧密状態	飽和	初期せん断力
1	○	等方	飽和	$\tau_i = 0.0$
2	●	"	"	" 0.3
3	△	"	不飽和	" 0.0
4	▲	"	"	" 0.3
5	◇	異方	飽和	" 0.0
6	◆	"	"	" 0.3

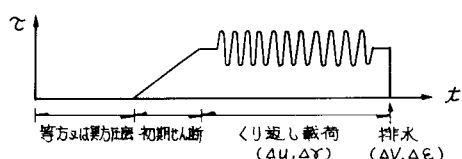
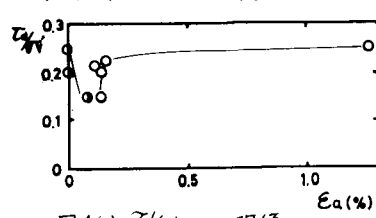
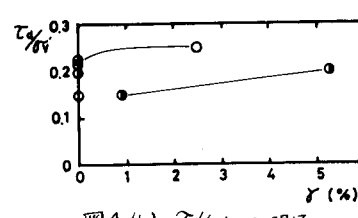
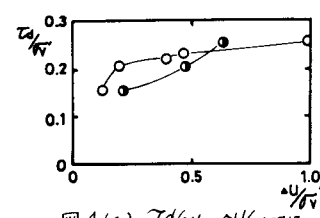
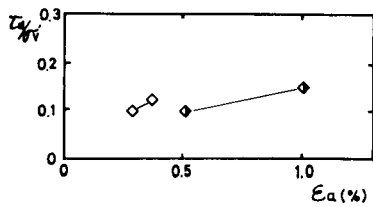
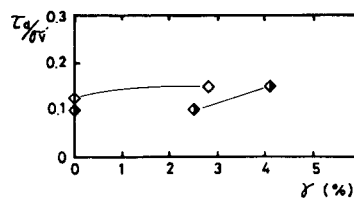
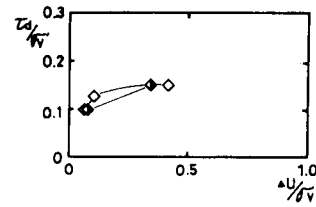


図3. 試験方法

図4(a)  $\tau_d/\sigma_v' \sim \epsilon_a$  関係図4(b)  $\tau_d/\sigma_v' \sim \gamma$  関係図4(c)  $\tau_d/\sigma_v' \sim \Delta u/\sigma_v'$  関係

図5(a)  $T_g/V$  ~  $\epsilon_a$  関係図5(b)  $T_g/V$  ~  $\gamma$  関係図5(c)  $T_g/V$  ~  $\alpha_u/V$  関係

にて、初期せん断力、圧密状態、 $T_g/V$ 、飽和度等の個々の条件に分けて以下に比較検討してみた。

### i) 初期せん断応力の影響

図4はシリーズ1と2を比較したもので、等方圧密・飽和と言ふ条件は2シリーズ共同じであり、初期せん断力の影響が読み取れる。これから、初期せん断力を加えて方が同じ $T_g/V$ でより出やすいこと、液状化に近づかなければ $\epsilon_a$ の出方には余り差がない事が分かる。ここでより出やすいのは、初期せん断応力がひどく方向性を与えるものと考えられる。また、初期せん断のあるなしによって $\alpha_u$ の発生の仕方も異なって来る。同様に

図5、図6は、それぞれ異方圧密・飽和、等方圧密・不飽和の条件の下でシリーズ5と6、シリーズ3と4を比較したもので初期せん断の影響を見た圖である。図5を図4と比較すると $\epsilon_a$ 、 $\gamma$ は同じ $T_g/V$ に対して出やすく、 $T_g/V$  ~  $\alpha_u/V$ 関係が類似しているのが分かる。これは異方圧密は等方圧密に比べて平均拘束圧が小さい結果と言える。図6も図4ほどではないが、初期せん断力を加えて方がより出やすいと言える。

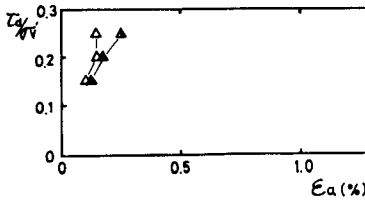
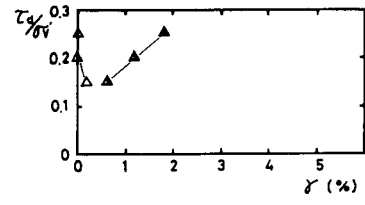
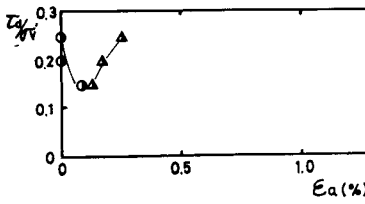
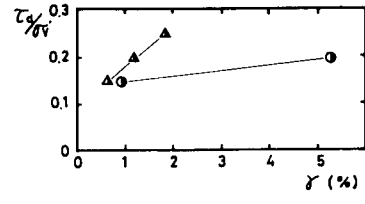
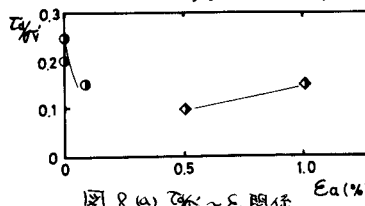
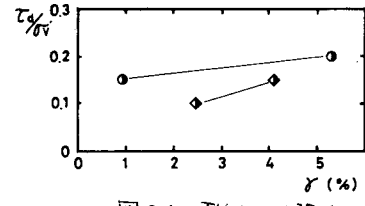
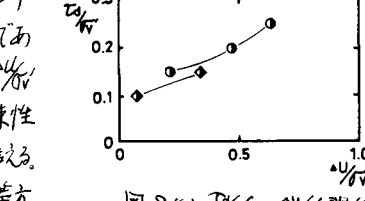
ii) 飽和・不飽和の影響 図7はシリーズ2と4を比較したもので、等方圧密・初期せん断力載荷の条件下で、飽和度による影響を見たものである。図7より、飽和試料の方は不飽和試料に比べて、 $\epsilon_a$ は小さく、 $\gamma$ は大きく出る事が分かる。

iii) 等方圧密・異方圧密の影響 図8はシリーズ2と6を比較したもので、飽和・初期せん断力載荷の条件下で、圧密状態の影響を調べたものである。これによると、同じ $T_g/V$ を載荷した時、異方圧密の方が $\epsilon_a$ 、 $\gamma$ 、 $\alpha_u$ 共に発生しやすい傾向があると言える。これは前にも述べたが異方圧密では平均拘束圧が低くからである。

以下まとめると、動的ねりせん断試験において、初期せん断力を加えて後に載荷した場合は載荷しない時に比べてより大きく出る傾向がある。しかし、これはあくまでDr. 56%前後の標準砂による実験結果であり、直接現地盤の上に適用できるものではない。今後、密な砂等についても実験を続けて行きたい。

**4. 謝辞** 動的ねりせん断試験を行ったのは、基礎地盤コンサルタント(株) 山口勇・曾我誠氏(御助力賜わった)。また、同 岡田進氏には御助言を賜わった。ここに感謝の意を表す所次第である。

**5. 参考文献** 安田進・山口勇・佐藤洋行(1981)，“動的ねりせん断装置による広範囲な強度試験実験”，第16回土質工学研究発表会

図6(a)  $T_g/V$  ~  $\epsilon_a$  関係図6(b)  $T_g/V$  ~  $\gamma$  関係図7(a)  $T_g/V$  ~  $\epsilon_a$  関係図7(b)  $T_g/V$  ~  $\gamma$  関係図8(a)  $T_g/V$  ~  $\epsilon_a$  関係図8(b)  $T_g/V$  ~  $\gamma$  関係図8(c)  $T_g/V$  ~  $\alpha_u/V$  関係